

notas

YAMIL

22 de mayo de 2019

4.4 Secciones transversales y elementos de matriz.

Aunque en las secciones anteriores hemos considerado esparsimiento únicamente ondas electromagnéticas incidentes polarizadas en la dirección x , el campo de esparsimiento para luz con una polarización lineal arbitraria y por lo tanto también con un estado de polarización cualquiera ¹, se obtiene de la simetría de la partícula.

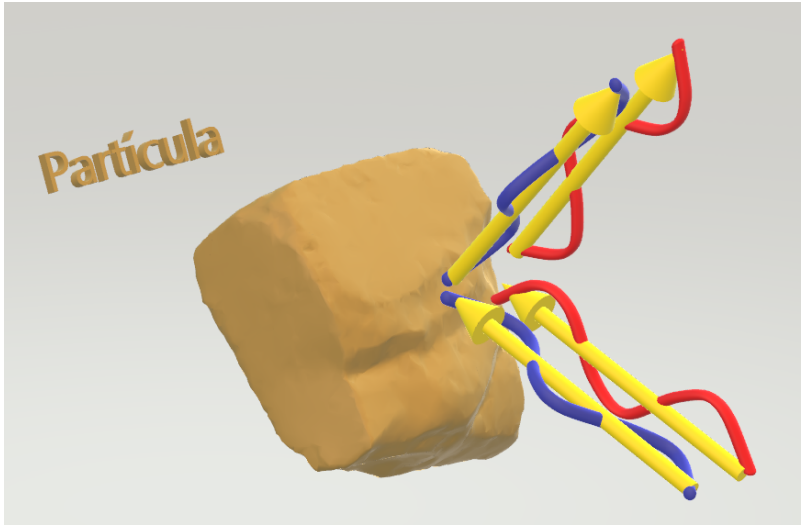


Figura 1: Partícula pequeña sin simetría.

Por ejemplo relacionamos los campos eléctricos de esparsimiento con igual amplitud pero una polarizada en dirección x y otra en y como:²

$$E_{\text{esparsimiento}}^{\rightarrow}(\Phi, \rightarrow) = E_{\text{esparsimiento}}^{\rightarrow}(\Phi + \frac{\pi}{2}, \uparrow) \quad (1)$$

Por lo cual como en la sección anterior obtuvimos los coeficientes del campo de esparsimiento a_n y b_n ahora es posible determinar las secciones transversales y la matriz de esparsimiento.

4.4.1 Secciones Transversales.

Recordando las expresiones de la sección 3.4 para el vector de Poynting:

$$\vec{S} = \frac{1}{2} \text{Re} \left(\vec{E} \times \vec{H}^* \right) = \frac{1}{2} \text{Re} \left((E_{\text{inci}} \vec{e} + E_{\text{esp}}) \times (H_{\text{inci}} \vec{e} + H_{\text{esp}})^* \right) \quad (2)$$

¹A partir de la polarización lineal se puede construir la polarización circular y elíptica.

²Las flechas indican polarización en x y y respectivamente

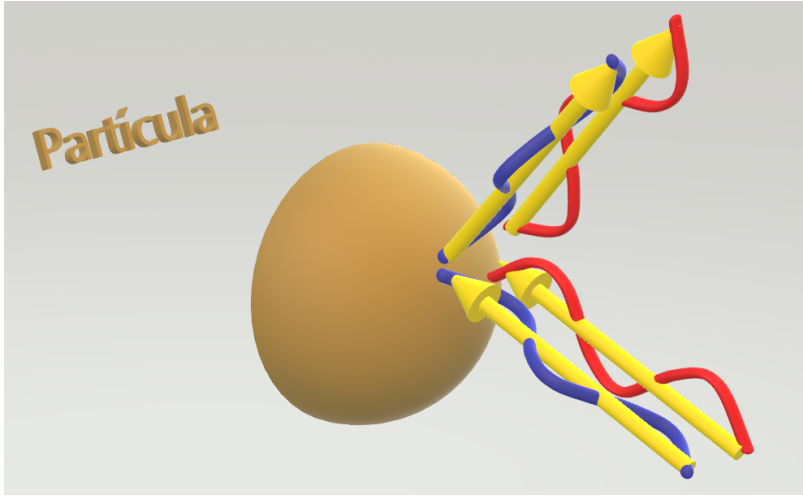


Figura 2: Partícula pequeña con simetría esférica.

$$\vec{S} = \frac{1}{2} \text{Re} \left(\vec{E}_{inci} \times \vec{H}_{inci}^* + \vec{E}_{esp} \times \vec{H}_{esp}^* + \vec{E}_{inci} \times \vec{H}_{esp}^* + \vec{E}_{esp} \times \vec{H}_{inci}^* \right) \quad (3)$$

Así podemos relacionar cada termino de la siguiente manera: $\vec{S} = \vec{S}_{inc} + \vec{S}_{esp} + \vec{S}_{extinc}$ donde los dos últimos términos son los que pertenecen al campo de extinción tal que:

$$\vec{S}_{ext} = \frac{1}{2} \text{Re} \left(\vec{E}_{inci} \times \vec{H}_{esp}^* + \vec{E}_{esp} \times \vec{H}_{inci}^* \right) \quad (4)$$

Nuestro objetivo es calcular la energía electromagnética (W_a) que cruza una esfera imaginaria centrada en nuestra partícula. con ello es necesario calcular:

$$W_a = - \int_{esfera} \vec{S} \cdot d\vec{a} = - \int_{esfera} \vec{S}_i + \vec{S}_{esp} + \vec{S}_{ext} \cdot d\vec{a} = W_i + W_{ext} - W_{esp} \quad (5)$$

Suponiendo que el medio en el que se encuentra la partícula es no absorbente W_i será cero. Así mismo W_a no dependerá del radio de nuestra esfera imaginaria, por lo cual podemos hacer la aproximación de campo lejano. A continuación se derivará una expresión para las secciones transversales de una partícula esférica

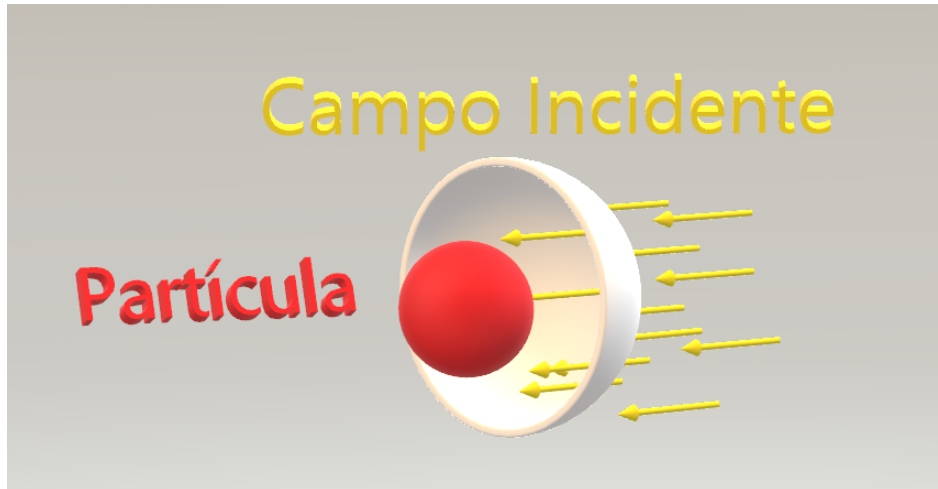


Figura 3: Esfera imaginaria para el cálculo de la energía electromagnética y el campo incidente.

de manera exacta. Veremos algunas propiedades de las funciones esféricas de Bessel y exploraremos mas el

teorema óptico.

Cabe mencionar que como se integrará sobre una esfera imaginaria el termino \vec{da} estará en dirección \vec{e}_r por lo cual tenemos que:

$$(\vec{E}_{inc} \times \vec{H}_{esp}) \cdot \vec{da} = \begin{vmatrix} da\vec{e}_r & 0 & 0 \\ E_{inc,r} & E_{inc,\theta} & E_{inc,\phi} \\ H_{esp,r} & H_{esp,\theta} & H_{esp,\phi} \end{vmatrix} = E_{inc,\theta}H_{esp,\phi} - E_{inc,\phi}H_{esp,\theta}$$

Recordemos que:

$$\vec{E}_{inc} = \sum_{i=1}^{\infty} E_0 \frac{2n+1}{n(n+1)} i^n \left[M_{oln}^{(1)} - iN_{eln}^{(1)} \right]$$

$$\begin{aligned} \vec{E}_{inc} &= \sum_{i=1}^{\infty} E_n \left(E_r \vec{e}_r + \left[\cos \Phi \pi_n j_n(\rho) - i(\cos \Phi \tau_n \frac{(j_n(\rho)\rho)'}{\rho}) \right] \vec{e}_\theta + \left[-\sin \Phi \tau_n j_n(\rho) + i(\sin \Phi \pi_n \frac{(j_n(\rho)\rho)'}{\rho}) \right] \vec{e}_\phi \right) \\ \vec{H}_{inc} &= \sum_{i=1}^{\infty} \frac{-E_n k}{\omega \mu} \left(H_r \vec{e}_r + \left[-\sin \Phi \pi_n j_n(\rho) + i(\sin \Phi \tau_n \frac{(j_n(\rho)\rho)'}{\rho}) \right] \vec{e}_\theta + \left[-\cos \Phi \pi_n j_n(\rho) + i(\cos \Phi \tau_n \frac{(j_n(\rho)\rho)'}{\rho}) \right] \vec{e}_\phi \right) \\ \vec{E}_{esp} &= \sum_{i=1}^{\infty} E_n \left(E_r \vec{e}_r + \left[ia_n \cos \phi \tau_n \frac{(h_n(\rho)\rho)'}{\rho} - (b_n \cos \phi \tau_n h_n(\rho)) \right] \vec{e}_\theta - \left[ia_n \sin \phi \pi_n \frac{(h_n(\rho)\rho)'}{\rho} + (b_n \sin \phi \tau_n h_n(\rho)) \right] \vec{e}_\phi \right) \\ \vec{H}_{esp} &= \sum_{i=1}^{\infty} H_n \left(H_r \vec{e}_r + \left[ib_n \sin \phi \tau_n \frac{(h_n(\rho)\rho)'}{\rho} - (a_n \sin \phi \pi_n h_n(\rho)) \right] \vec{e}_\theta + \left[ib_n \cos \phi \pi_n \frac{(h_n(\rho)\rho)'}{\rho} - (a_n \cos \phi \tau_n h_n(\rho)) \right] \vec{e}_\phi \right) \end{aligned}$$

Es importante tener en cuenta el siguiente cambio de variable.

$$\psi_n(\rho) = \rho j_n(\rho) \quad , \quad \xi_n(\rho) = \rho h_n(\rho) \quad (6)$$

Ahora podemos escribir las componentes del campo incidente tenemos:

$$\begin{aligned} E_{i,\theta} &= \frac{\cos \phi}{\rho} \sum_{n=1}^{\infty} E_n (\psi_n \pi_n - i \psi_n' \tau_n) \\ E_{i,\phi} &= \frac{\sin \phi}{\rho} \sum_{n=1}^{\infty} E_n (i \psi_n' \pi_n - i \psi_n \tau_n) \\ H_{i,\theta} &= \frac{k}{\omega \mu} \tan \phi E_{i,\theta} \quad , \quad H_{i,\phi} = \frac{-k}{\omega \mu} \cot \phi E_{i,\phi} \end{aligned}$$

Para las componentes del campo esparcido tenemos:

$$\begin{aligned} E_{s,\theta} &= \frac{\cos \phi}{\rho} \sum_{n=1}^{\infty} E_n (ia_n \xi_n' \tau_n - b_n \xi_n \pi_n) \\ E_{s,\phi} &= \frac{\sin \phi}{\rho} \sum_{n=1}^{\infty} E_n (b_n \xi_n \tau_n - ia_n \xi_n' \pi_n) \\ H_{s,\theta} &= \frac{k}{\omega \mu} \frac{\sin \phi}{\rho} \sum_{n=1}^{\infty} E_n (ib_n \xi_n' \tau_n - a_n \xi_n \pi_n) \\ H_{s,\phi} &= \frac{k}{\omega \mu} \frac{\cos \phi}{\rho} \sum_{n=1}^{\infty} E_n (ib_n \xi_n' \pi_n - a_n \xi_n \tau_n) \end{aligned}$$

Podemos calcular ahora el trabajo realizado por el campo electromagnético de esparramiento y de extinción.

$$W_s = \frac{1}{2} Re \left(\int_0^{2\pi} \int_0^\pi (E_{s,\theta} H_{s,\phi}^* - E_{s,\phi} H_{s,\theta}^*) r^2 \sin \theta d\theta d\phi \right) \quad (7)$$

Desarrollando cada uno de estos términos:

$$\begin{aligned} E_{s,\theta} H_{s,\phi}^* &= -\frac{\cos^2 \phi}{\rho^2} \frac{k}{\omega \mu} \sum_{m=1}^{\infty} E_n (i a_n \xi_n' \tau_n - b_n \xi_n \pi_n) \sum_{n=1}^{\infty} E_m^* (i b_m^* \xi_m'^* \pi_m + a_m^* \xi_m^* \tau_m) \\ -E_{s,\phi} H_{s,\theta}^* &= -\frac{\sin^2 \phi}{\rho^2} \frac{k}{\omega \mu} \sum_{n=1}^{\infty} E_n (b_n \xi_n \tau_n - i a_n \xi_n' \pi_n) \sum_{m=1}^{\infty} E_m^* (i b_m^* \xi_m'^* \tau_m + a_m^* \xi_m^* \pi_m) \end{aligned}$$

Integrando respecto a ϕ primero y recordando que:

$$\int_0^{2\pi} \sin^2 \phi d\phi = \pi = \int_0^{2\pi} \cos^2 \phi d\phi \quad (8)$$

$$\begin{aligned} W_{esp} &= r^2 Re \int_0^\pi \frac{\pi k \sin \theta}{\omega \mu \rho^2} \sum_{n,m=1}^{\infty} E_n E_m^* [(a_n b_m^* \xi_n' \xi_m'^* \tau_n \pi_m + b_n a_m^* \xi_n \xi_m^* \pi_n \tau_m + b_n a_m^* \xi_n \xi_m^* \tau_n \pi_m \\ &+ a_n b_m^* \xi_n' \xi_m'^* \pi_n \tau_m) + i(-a_n a_m^* \xi_n' \xi_m^* \tau_n \tau_m + b_n b_m^* \xi_n \xi_m^* \pi_n \pi_m - a_n a_m^* \xi_n' \xi_m^* \pi_n \pi_m + b_n b_m^* \xi_n \xi_m^* \tau_n \tau_m)] d\theta \end{aligned}$$

Utilizando las siguientes relaciones:

$$\begin{aligned} \int_0^\pi \pi_n \tau_m + \tau_n \pi_m \sin \theta d\theta &= \int_0^\pi \left(\frac{P_n^1}{\sin \theta} \frac{dP_m^1}{d\theta} + \frac{P_m^1}{\sin \theta} \frac{dP_n^1}{d\theta} \right) \sin \theta d\theta = \\ P_n^1(\cos \theta) P_m^1(\cos \theta) \Big|_0^\pi &= P_n^1(-1) P_m^1(-1) - P_n^1(1) P_m^1(1) = 0 \end{aligned}$$

Podemos ver este resultado de

$$P_l^m(x) = (-1)^m (1-x^2)^{\frac{m}{2}} \frac{d^m}{dx^m} (P_l(x))$$

Así como:

$$\begin{aligned} \int_0^\pi \pi_n \pi_m + \tau_n \tau_m \sin \theta d\theta &= \delta_{nm} \frac{2n^2(n+1)^2}{2n+1} \\ W_{esp} &= \frac{\pi}{\omega \mu k} \sum_{n,m=1}^{\infty} E_n E_m^* Re((a_n b_m^* \xi_n' \xi_m'^* + b_n a_m^* \xi_n \xi_m^*) (\int_0^\pi \pi_n \tau_m + \tau_n \pi_m \sin \theta d\theta) + \\ &+ i(a_n a_m^* \xi_n' \xi_m^* + b_n b_m^* \xi_n \xi_m^*) (\int_0^\pi \tau_n \tau_m + \pi_n \pi_m \sin \theta d\theta)) \\ W_{esp} &= \frac{\pi}{\omega \mu k} \sum_{n,m=1}^{\infty} |E_o \frac{i^n(2n+1)}{n(n+1)}|^2 Re(-i \xi_n^* \xi_m' |a_n|^2 + i \xi_n \xi_m'^* |b_n|^2) \frac{2n^2(n+1)^2}{2n+1} \\ W_{esp} &= \frac{\pi |E_o|^2}{\omega \mu k} \sum_{n,m=1}^{\infty} (2n+1) (|a_n|^2 + |b_n|^2) \quad (9) \end{aligned}$$

La ecuación anterior se obtuvo ya que tenemos la siguientes definiciones de las funciones de Riccati-Bessel:

$$\chi_n = \rho y_n(\rho) \quad \xi_n = \psi_n - i \chi_n \quad (10)$$

Desarrollando la multiplicación de las funciones ξ_n obtenemos:

$$-i \xi_n^* \xi_m' = -i(\psi_n^* + i \chi_n^*)(\psi_m' - i \chi_m') = (\chi_n^* \psi_m' - \psi_n^* \chi_m') - i(\psi_n^* \psi_m' + \chi_n^* \chi_m')$$

$$i\xi_n\xi_m'^* = i(\psi_n - i\chi_n)(\psi_n'^* + i\chi_n'^*) = (\chi_n\psi_n'^* - \psi_n\chi_n'^*) - i(\psi_n\psi_n'^* + \chi_n\chi_n'^*)$$

Como ξ_n y χ_n son funciones reales los conjugados se pueden omitir por lo cual de la ecuación diferencial de Riccati-Bessel:

$$\rho^2 \frac{d^2 z_n(\rho)}{d\rho^2} + [\rho^2 - n(n+1)]z(\rho) = 0 \implies W(\rho) = \chi_n\psi_n' - \psi_n\chi_n' = 1 \quad (11)$$

Para calcular la energía de extinción tenemos que resolver la siguiente integral:

$$\begin{aligned} W_{ext} &= \frac{Re}{2} \left(\int_0^{2\pi} \int_0^\pi (E_{i,\phi}H_{s,\theta}^* - E_{i,\theta}H_{s,\phi}^* - E_{s,\theta}H_{i,\phi}^* + E_{s,\phi}H_{i,\theta}^*)r^2 \sin\theta d\theta d\phi \right) \\ &= \frac{2\pi}{\omega\mu k} \sum_{n=1}^{\infty} (2n+1)Re(a_n + b_n) \end{aligned} \quad (12)$$

Obteniendo las secciones transversales de extinción y de esparcimiento obtenidas son:

$$\begin{aligned} C_{esp} &= \frac{W_{esp}}{I_{inc}} = \frac{2\pi}{k^2} \sum_{n=1}^{\infty} (2n+1)(|a_n|^2 + |b_n|^2) \\ C_{ext} &= \frac{W_{ext}}{I_{inc}} = \frac{2\pi}{k^2} \sum_{n=1}^{\infty} (2n+1)Re(a_n + b_n) \end{aligned}$$

Con ello recordamos el teorema óptico el cual nos menciona que la extinción solo depende de la amplitud de esparcimiento en la dirección de propagación.

Referencias

[1] Referencia 1. .